

Gdańsk, dn. 2023-09-27

T-Mobile Polska S.A.
ul. Marynarska 12
02-674 Warszawa

Pełnomocnik: Michał Stolarczyk
Pełnomocnictwo numer: 113/03/23
z dnia: 2023-03-06

dane do korespondencji:

NetWorkSI Sp. z o.o.
ul. Józefa Piłusa Dziekońskiego 3
00-728 Warszawa
tel. 538130144

Starosta Powiatu Elbląskiego
Starostwo Powiatowe w Elblągu
ul. Saperów 14A
82-300 Elbląg

Dotyczy: ustawowego obowiązku, wynikającego z art. 152 ust. 1 i ust. 7 w związku z ust. 6 pkt 1c ustawy z dnia 27 kwietnia 2001r – Prawo ochrony środowiska (Dz.U. 2022 poz. 2556).

Działając z upoważnienia T-Mobile Polska S.A. z siedzibą ul. Marynarska 12, 02-674 Warszawa, **informuję o zmianie danych w zakresie wielkości i rodzaju emisji** dla instalacji radiokomunikacyjnej **38865 (48865N!)** GEB_RYCHLIKI_RYCHLIKI zlokalizowanej w miejscowości RYCHLIKI DZ.287/2. W stosunku do informacji zawartej w zgłoszeniu realizowanym dla tej instalacji w trybie art. 152 ust. 1 i 5 ustawy z dnia 27 kwietnia 2001r – Prawo ochrony środowiska (Dz.U. 2022 poz. 2556), dane ulegają zmianie w następujący sposób:

9. Wielkość i rodzaj emisji²⁾:

Pole elektromagnetyczne. EIRP poszczególnych anten zostało podane w pkt 12, tj.

Lp.	Równoważna moc promieniowana izotropowo (EIRP) [W]
1.	21979
2.	9207
3.	15864
4.	9207
5.	9922
6.	21979
7.	9207
8.	795
9.	892
10.	4
11.	10000
12.	3170
13.	3991
14.	1446/5371

12. Szczegółowe dane, odpowiednio do rodzaju instalacji, zgodne z wymaganiami określonymi w załączniku nr 2 do Rozporządzenia:

Lp.	1)	2)	3)	4)	5)	
	Współrzędne geograficzne	Częstotliwość lub zakresy częstotliwości pracy instalacji [MHz]	Wysokość środka elektrycznego anteny [m n.p.t]	Równoważna moc promieniowana izotropowo (EIRP) [W]	Azymut [°]	Kąt pochylenia lub zakresy kątów pochylenia [°]
1.	19°31'48.2" 53°59'0.5"	800/900/1800/ 2100	50.3	21979	0	6/6/5/5
2.	19°31'48" 53°59'0.6"	2600	55	9207	0	3
3.	19°31'48.2" 53°59'0.5"	1800/2100	49.8	15864	130	2/2
4.	19°31'48" 53°59'0.4"	2600	55	9207	130	1
5.	19°31'48.1" 53°59'0.5"	800/900	76.3	9922	130	0/0
6.	19°31'48" 53°59'0.6"	800/900/1800/ 2100	50.3	21979	260	4/0/2/2
7.	19°31'48" 53°59'0.6"	2600	55	9207	260	2
8.	19°31'48" 53°59'0.6"	23000	43	795	31*	nd.
9.	19°31'48" 53°59'0.5"	23000	71.5	892	45*	nd.
10.	19°31'48" 53°59'0.4"	38000	43	4	193*	nd.
11.	19°31'48" 53°59'0.4"	23000	59	10000	199*	nd.
12.	19°31'48" 53°59'0.4"	18000	60	3170	242*	nd.
13.	19°31'48" 53°59'0.5"	18000	55	3991	306*	nd.
14.	19°31'48" 53°59'0.5"	23000/80000	59.4	1446/5371	307*	nd.

*) tolerancja azymutu od -10° do +10°.

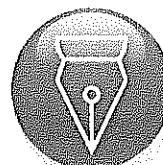
Informuję, iż dokonane zmiany w zakresie wielkości i rodzaju emisji przedmiotowej instalacji nie powodują zmiany instalacji w sposób istotny zgodnie z art. 3 pkt 7 ustawy Poś.

W załączniku przesyłam:

1. Pełnomocnictwo
2. Kopia potwierdzenia wniesienia opłaty skarbowej.
3. Sprawozdanie z pomiarów pól elektromagnetycznych wykonanych dla celów ochrony środowiska.

Otrzymują:

1. a/a
2. adresat



Signed by /
Podpisano przez:

Michał Władysław
Stolarczyk

Date / Data:
2023-09-27 15:59



Laboratorium Badań Środowiskowych
ul. Józefa Piusa Dziekońskiego 3
00-728 Warszawa
e-mail: Laboratorium@networks.pl



AB 419

S P R A W O Z D A N I E 4766/2023/OS
Z POMIARÓW PÓL ELEKTROMAGNETYCZNYCH
WYKONANYCH DLA POTRZEB OCHRONY ŚRODOWISKA

Badany obiekt: Instalacja radiokomunikacyjna T-Mobile Polska S.A.

Numer i nazwa: 38865 (48865N!) GEB_RYCHLIKI_RYCHLIKI

Adres: RYCHLIKI DZ.287/2, Powiat elbląski, WOJ. WARMIŃSKO-MAZURSKIE

Data wykonania pomiarów: 2023-09-21

Sprawozdanie z badań bez pisemnej zgody laboratorium nie może być powielane inaczej niż w całości.
Wynik przedstawione w niniejszym sprawozdaniu odnoszą się wyłącznie do badanego obiektu i do warunków i konfiguracji urządzeń w dniu wykonywania pomiarów.

1. Właściciel badanego obiektu:

T-Mobile Polska S.A., ul. Marynarska 12, 02-674 Warszawa

2. Zleceniodawca:

T-Mobile Polska S.A., ul. Marynarska 12, 02-674 Warszawa

3. Przedstawiciel zleceniodawcy:

NetWorkS! Sp.z o.o.

4. Zakres zlecenia:

Wykonanie badania i opracowanie sprawozdania z pomiarów natężenia pola elektrycznego i pola magnetycznego dla instalacji radiokomunikacyjnej T-Mobile Polska S.A. zlokalizowanej w miejscowości RYCHLIKI DZ.287/2.

5. Cel zlecenia:

Wykonanie pomiarów pól elektromagnetycznych w otoczeniu instalacji radiokomunikacyjnej 38865 (48865N!) GEB_RYCHLIKI_RYCHLIKI w odniesieniu do wymagań określonych w *Rozporządzeniu Ministra Klimatu z dnia 17 lutego 2020 r. w sprawie sposobów sprawdzania dotrzymania dopuszczalnych poziomów pól elektromagnetycznych w środowisku (Dz.U. 2022 poz. 2630)*.

6. Pomiary zostały wykonane przez:

Nowak Paweł
Dąbkowski Dominik

7. Informacje o źródłach pól elektromagnetycznych

7.1. Sposób identyfikacji badanych źródeł pól elektromagnetycznych

Identyfikacji źródeł i parametrów technicznych dokonano na podstawie analizy dokumentacji dotyczącej zlecenia oraz obserwacji miejsca wykonywania badań.

7.2. Opis miejsca zainstalowania anten i urządzeń technicznych. Opis obiektu badań i jego otoczenia

Instalacja radiokomunikacyjna zlokalizowana jest na terenie ogrodzonym. Anteny zawieszono na wieży kratowej. Urządzenia sterujące oraz zasilające zainstalowano w kontenerze u podstawy wieży. Wokół instalacji znajdują się tereny rolnicze.

Instalacja radiokomunikacyjna jest obiektem bezobsługowym. Okresowe stanowiska pracy związane są z prowadzonymi w zależności od potrzeb konserwacjami, przeglądami, strojeniem i naprawami.

Sprawozdanie z badań bez pisemnej zgody laboratorium nie może być powielane inaczej niż w całości.
Wynik przedstawione w niniejszym sprawozdaniu odnoszą się wyłącznie do badanego obiektu i do warunków i konfiguracji urządzeń w dniu wykonywania pomiarów.

7.3. Parametry techniczne źródła pola elektromagnetycznego

Dane przedstawiające maksymalne parametry pracy instalacji przekazane przez zleceniodawcę:

Parametry systemu nadawczo-odbiorczego:

Charakterystyka promieniowania		kierunkowa					
Rzeczywisty czas pracy [h/dobę]		24					
Warunki pracy		znamionowe					
Rodzaj wytwarzanego pola		stacjonarne					
Lp.	Częstotliwość lub zakresy częstotliwości pracy [MHz]	Typ/producent anteny	liczba anten	Azymut [°]	kąt pochylecia* [°]	Wysokość środka elektrycznego anteny [m n.p.t.]	Równoważna moc promieniowana izotropowo (EIRP) [W]
1	800/900/1800/2100	AQU4518R25v18 Huawei	1	0	6/6/5/5	50.3	21979
2	2600	ADU4518R6v06 Huawei	1	0	3	55	9207
3	1800/2100	ADU4518R6v06 Huawei	1	130	2/2	49.8	15864
4	2600	ADU4518R6v06 Huawei	1	130	1	55	9207
5	800/900	ADU451723 Huawei	1	130	0/0	76.3	9922
6	800/900/1800/2100	AQU4518R25v18 Huawei	1	260	4/0/2/2	50.3	21979
7	2600	ADU4518R6v06 Huawei	1	260	2	55	9207

* wskazane wartości kąta pochylecia anten, zgodnie z informacją uzyskaną od zleceniodawcy, są wartościami stałymi

Sprawozdanie z badań bez pisemnej zgody laboratorium nie może być powielane inaczej niż w całości.
 Wynik przedstawione w niniejszym sprawozdaniu odnoszą się wyłącznie do badanego obiektu i do warunków i konfiguracji urządzeń w dniu wykonywania pomiarów.

Parametry radiolinii:

Charakterystyka promieniowania			kierunkowa				
Rzeczywisty czas pracy [h/dobę]			24				
Warunki pracy			znamionowe				
Rodzaj wytwarzanego pola			stacjonarne				
Lp.	Linia radiowa			Antena			
	Typ/ Producent	Częstotliwość pracy [GHz]	Równoważna moc promieniowana izotropowo (EIRP) [W]	Typ/ producent	Średnica anteny [m]	Azymut [°]	Wysokość zainstalowania n.p.t [m]
1.	NEC IPasolink 100E Harris Stratex	23	795	VHLP2-23 Andrew	0.6	31	43
2.	Ericsson CN510 RAU2X Harris Stratex	23	892	ANT2_0.6 23 HP Ericsson	0.6	45	71.5
3.	NEC IPasolink 100E Harris Stratex	38	4	VHLP1-38 Andrew	0.3	193	43
4.	NP ERICSSON RAU2X 23GHZ 28MHz Ericsson	23	10000	UKY 210 07/SC1X Ericsson	1.2	199	59
5.	NP ERICSSON ML 6363 18GHz 2x56MHz XPIC Ericsson	18	3170	ANT3_0.6 18 HP/HPX Ericsson	0.6	242	60
6.	NP ERICSSON RAU2X 18GHZ 2x56MHz XPIC Ericsson	18	3991	ANT2_0.6 18 HP/HPX Ericsson	0.6	306	55
7.	NP ERICSSON ML 6363 23GHz 28MHz NP ERICSSON ML 6352 R2+ 70/80GHz 250MHz Ericsson	23/80	1446/5371	ANT2/2_0.6 23/80 HP/HP Ericsson	0.6	307	59.4

7.4 Inne źródła pól elektromagnetycznych

Na podstawie informacji otrzymanych od użytkownika oraz obserwacji otoczenia miejsca wykonywania pomiarów stwierdzono występowanie innych źródeł pola-EM, pracujących w systemie: telefonii komórkowej (800MHz-2600MHz), linii radiowych (5GHz – 90GHz), które istotnie wpływają na wyniki pomiarów.

8. Opis pomiarów

8.1. Metoda badań

Zgodna z rozporządzeniem Ministra Klimatu z dnia 17 lutego 2020 r. w sprawie sposobów sprawdzania dotrzymania dopuszczalnych poziomów pól elektromagnetycznych w środowisku (Dz.U. 2022 poz. 2630), określona w pkt 25 ppkt 1 załącznika do niniejszego rozporządzenia.

8.2. Termin pomiarów i warunki środowiskowe

Podczas wykonywania pomiarów pól elektromagnetycznych nie występowały opady atmosferyczne. Wyniki pomiaru parametrów pogodowych przedstawia poniższa tabela:

Data [rrrr-mm- dd]	Godzina [hh:mm-hh:mm]	Warunki środowiskowe			
		Temperatura [°C]		Wilgotność względna [%]	
2023-09-21	09:35-11:10	Przed pomiarem	Po pomiarach	Przed pomiarem	Po pomiarach
		22.0	22.0	54.0	54.0

Przedstawione wyżej warunki środowiskowe, występujące podczas wykonywania pomiarów pól elektromagnetycznych, są zgodne ze specyfikacją techniczną użytego zestawu pomiarowego.

Sprawozdanie z badań bez pisemnej zgody laboratorium nie może być powielane Inaczej niż w całości.
Wynik przedstawione w niniejszym sprawozdaniu odnoszą się wyłącznie do badanego obiektu i do warunków i konfiguracji urządzeń w dniu wykonywania pomiarów.

8.3. Warunki pracy urządzeń nadawczych

Podczas pomiarów w przypadku uzyskania wyniku pomiaru szerokopasmowego wykonanego zastosowaną metodą, dla zakresów częstotliwości od 10 MHz do 300 GHz, powiększonego o rozszerzoną niepewność pomiaru U dla współczynnika rozszerzenia $k = 2$ przekraczającego 70% najniższej dopuszczalnej wartości składowej elektrycznej lub magnetycznej pola dla objętych pomiarami zakresów częstotliwości, uwzględnia się poprawki pomiarowe przekazane przez zleceniodawcę, umożliwiające uwzględnienie maksymalnych parametrów pracy instalacji zgodnie z pkt 7 załącznika do Rozporządzeniem Ministra Klimatu z dnia 17 lutego 2020 r. w sprawie sposobów sprawdzania dotrzymania dopuszczalnych poziomów pól elektromagnetycznych w środowisku (Dz. U. 2022, poz. 2630) zaznaczając, że wymagane jest wykonanie pomiaru z wykorzystaniem miernika selektywnego. W przypadku uzyskania wyniku pomiaru szerokopasmowego wykonanego zastosowaną metodą, dla zakresów częstotliwości od 10 MHz do 300 GHz, powiększonego o rozszerzoną niepewność pomiaru U dla współczynnika rozszerzenia $k = 2$ nieprzekraczającego 70% najniższej dopuszczalnej wartości składowej elektrycznej lub magnetycznej pola dla objętych pomiarami zakresów częstotliwości, nie uwzględnia się poprawek pomiarowych.

8.4. Wyposażenie pomiarowe

Zestaw pomiarowy służący do pomiaru natężenia składowej elektrycznej pola elektromagnetycznego złożony z szerokopasmowego miernika i sondy pomiarowej:

Oznaczenie miernika	Producent	Model	Numer fabryczny	Oznaczenie sondy	Producent	Model	Numer fabryczny
MW-08	Wavecontrol	Miernik pól elektromagnetycznych SMP2	22SN2090	SW-15	Wavecontrol	Sonda WPF60	22WP230221

Mierniki natężenia pola elektromagnetycznego podlegają okresowemu sprawdzeniu zgodnie z procedurą wewnętrzną P-03 i PB-01. Świadectwo wzorcowania zestawu pomiarowego z dnia 4 listopada 2022 o numerze LWIMP/W/333/22 wydane przez Politechnika Wrocławską.
Data ważności świadectwa wzorcowania: 4 listopada 2024 (zgodnie z procedurą wewnętrzną P-03).

Oznaczenie miernika	Producent	Model	Numer fabryczny	Oznaczenie sondy	Producent	Model	Numer fabryczny
MW-08	Wavecontrol	Miernik pól elektromagnetycznych SMP2	22SN2090	SW-16	Wavecontrol	Sonda WPF3-HP	22WP030450

Mierniki natężenia pola elektromagnetycznego podlegają okresowemu sprawdzeniu zgodnie z procedurą wewnętrzną P-03 i PB-01. Świadectwo wzorcowania zestawu pomiarowego z dnia 4 listopada 2022 o numerze LWIMP/W/333/22 wydane przez Politechnika Wrocławską.
Data ważności świadectwa wzorcowania: 4 listopada 2024 (zgodnie z procedurą wewnętrzną P-03).

Termohigrometr:

Oznaczenie:	TH-21	Producent:	AZ INSTRUMENT CORP	Model:	Termohigrometr AZ8706
-------------	-------	------------	--------------------	--------	-----------------------

Data ważności świadectwa wzorcowania: 17 grudnia 2023 (zgodnie z procedurą wewnętrzną P-03).

Dalmerz:

Oznaczenie	Producent	Typ	Numer seryjny	Nr świadectwa wzorcowania	Data świadectwa wzorcowania
D-09	Leica	Dalmerz Leica Disto D510	1042956700	4609.10-M11-4180-1748/14	9 stycznia 2015

Data ważności świadectwa wzorcowania: 9 stycznia 2025 (zgodnie z procedurą wewnętrzną P-03).

Odbiornik GNSS:

Odbiornik GNSS wbudowany w miernik natężenia pola elektromagnetycznego użyty podczas pomiarów	Producent	Model
	UBlox	MAX-M8Q

Odbiorniki podlegają okresowemu sprawdzeniu zgodnie z procedurą wewnętrzną P-03.

Sprawozdanie z badań bez pisemnej zgody laboratorium nie może być powielane Inaczej niż w całości.
Wynik przedstawione w niniejszym sprawozdaniu odnoszą się wyłącznie do badanego obiektu i do warunków i konfiguracji urządzeń w dniu wykonywania pomiarów.

9. Wyniki pomiarów

Pole elektryczne

Nr pionu	Opis umiejscowienia pionu (punktu) pomiarowego	Wysokość pomiaru [m]	Zmierzona wartość natężenia pola elektrycznego E [V/m] ^{1,5}			Wartość natężenia pola elektrycznego powiększona o niepewność pomiaru ⁴ E [V/m]	Wskaźnikowa wartość poziomu emisji pól elektromagnetycznych WME ³	Współrzędne geograficzne pionu (punktu) pomiarowego ²
			Sonda SW-15	Sonda SW-16	SUMA			
1	GKP w odległości 27m od anteny radioliniowej az. 31°	0.3-2.0	<1.0*	<1.0*	<1.0*	1.6	0.06	53°59'1.3" 19°31'48.7"
2	GKP w odległości 60m od anteny radioliniowej az. 31°	0.3-2.0	<1.0*	<1.0*	<1.0*	1.6	0.06	53°59'2.4" 19°31'49.8"
3	GKP w odległości 88m od anteny radioliniowej az. 31°	0.3-2.0	<1.0*	<1.0*	<1.0*	1.6	0.06	53°59'3.1" 19°31'50.5"
4	GKP w odległości 24m od anteny radioliniowej az. 45°	0.3-2.0	<1.0*	<1.0*	<1.0*	1.6	0.06	53°59'1.0" 19°31'49.1"
5	GKP w odległości 55m od anteny radioliniowej az. 45°	0.3-2.0	<1.0*	<1.0*	<1.0*	1.6	0.06	53°59'1.7" 19°31'50.2"
6	GKP w odległości 88m od anteny radioliniowej az. 45°	0.3-2.0	<1.0*	<1.0*	<1.0*	1.6	0.06	53°59'2.4" 19°31'51.2"
7	PKP na az. 75° w odległości 82m od anteny radioliniowej az. 45°	0.3-2.0	<1.0*	<1.0*	<1.0*	1.6	0.06	53°59'1.3" 19°31'52.3"
8	PKP na az. 99° w odległości 63m od anteny radioliniowej az. 45°	0.3-2.0	<1.0*	<1.0*	<1.0*	1.6	0.06	53°59'0.2" 19°31'51.2"
9	GKP w odległości 16m od anteny sektorowej az. 130°	0.3-2.0	<1.0*	<1.0*	<1.0*	1.6	0.06	53°59'0.2" 19°31'48.7"
10	GKP w odległości 48m od anteny sektorowej az. 130°	0.3-2.0	<1.0*	<1.0*	<1.0*	1.6	0.06	53°58'59.5" 19°31'50.2"
11	GKP w odległości 93m od anteny sektorowej az. 130°	0.3-2.0	<1.0*	<1.0*	<1.0*	1.6	0.06	53°58'58.4" 19°31'52.0"
12	PKP na az. 162° w odległości 37m od anteny radioliniowej az. 193°	0.3-2.0	<1.0*	<1.0*	<1.0*	1.6	0.06	53°58'59.2" 19°31'48.7"
13	PKP na az. 162° w odległości 91m od anteny radioliniowej az. 193°	0.3-2.0	<1.0*	<1.0*	<1.0*	1.6	0.06	53°58'57.7" 19°31'49.4"
14	GKP w odległości 31m od anteny radioliniowej az. 193°	0.3-2.0	<1.0*	<1.0*	<1.0*	1.6	0.06	53°58'59.5" 19°31'47.6"
15	GKP w odległości 92m od anteny radioliniowej az. 193°	0.3-2.0	<1.0*	<1.0*	<1.0*	1.6	0.06	53°58'57.4" 19°31'46.9"

Sprawozdanie z badań bez pisemnej zgody laboratorium nie może być powielane inaczej niż w całości.
Wynik przedstawione w niniejszym sprawozdaniu odnoszą się wyłącznie do badanego obiektu i do warunków i konfiguracji urządzeń w dniu wykonywania pomiarów.

16	GKP w odległości 19m od anteny radioliniowej az. 193°	0.3-2.0	<1.0*	<1.0*	<1.0*	1.6	0.06	53°58'59.9" 19°31'47.6"
17	GKP w odległości 40m od anteny radioliniowej az. 199°	0.3-2.0	<1.0*	<1.0*	<1.0*	1.6	0.06	53°58'59.2" 19°31'47.3"
18	GKP w odległości 89m od anteny radioliniowej az. 199°	0.3-2.0	<1.0*	<1.0*	<1.0*	1.6	0.06	53°58'57.7" 19°31'46.6"
19	DPP płaszczyzna okna na parterze budynku mieszkalnego Rychliki 8a, wewnątrz brak dostępu- brak zgody właściciela	0.3-2.0	<1.0*	<1.0*	<1.0*	1.6	0.06	53°58'58.8" 19°31'45.1"
20	GKP w odległości 10m od anteny radioliniowej az. 242°	0.3-2.0	<1.0*	<1.0*	<1.0*	1.6	0.06	53°59'0.2" 19°31'47.6"
21	GKP w odległości 52m od anteny radioliniowej az. 242°	0.3-2.0	<1.0*	<1.0*	<1.0*	1.6	0.06	53°58'59.5" 19°31'45.5"
22	GKP w odległości 87m od anteny radioliniowej az. 242°	0.3-2.0	<1.0*	<1.0*	<1.0*	1.6	0.06	53°58'59.2" 19°31'43.7"
23	GKP w odległości 10m od anteny sektorowej az. 260°	0.3-2.0	<1.0*	<1.0*	<1.0*	1.6	0.06	53°59'0.6" 19°31'47.3"
24	GKP w odległości 40m od anteny sektorowej az. 260°	0.3-2.0	<1.0*	<1.0*	<1.0*	1.6	0.06	53°59'0.2" 19°31'45.8"
25	GKP w odległości 62m od anteny sektorowej az. 260°	0.3-2.0	<1.0*	<1.0*	<1.0*	1.6	0.06	53°59'0.2" 19°31'44.4"
26	DPP w wejściu do budynku hall	0.3-2.0	<1.0*	<1.0*	<1.0*	1.6	0.06	53°59'0.6" 19°31'44.4"
27	GKP w odległości 17m od anteny radioliniowej az. 307°	0.3-2.0	<1.0*	<1.0*	<1.0*	1.6	0.06	53°59'1.0" 19°31'47.3"
28	GKP w odległości 56m od anteny radioliniowej az. 306°	0.3-2.0	<1.0*	<1.0*	<1.0*	1.6	0.06	53°59'1.7" 19°31'45.5"
29	GKP w odległości 94m od anteny radioliniowej az. 306°	0.3-2.0	<1.0*	<1.0*	<1.0*	1.6	0.06	53°59'2.4" 19°31'43.7"
30	GKP w odległości 64m od anteny radioliniowej az. 307°	0.3-2.0	<1.0*	<1.0*	<1.0*	1.6	0.06	53°59'1.7" 19°31'45.1"
31	GKP w odległości 92m od anteny radioliniowej az. 307°	0.3-2.0	<1.0*	<1.0*	<1.0*	1.6	0.06	53°59'2.4" 19°31'44.0"
32	DPP płaszczyzna okna parterowego budynku mieszkalnego	0.3-2.0	<1.0*	<1.0*	<1.0*	1.6	0.06	53°59'1.7" 19°31'45.8"
33	DPP w wejściu do budynku hall	0.3-2.0	<1.0*	<1.0*	<1.0*	1.6	0.06	53°59'1.7" 19°31'44.8"
34	DPP w wejściu do budynku, budynek zamknięty	0.3-2.0	<1.0*	<1.0*	<1.0*	1.6	0.06	53°59'1.7" 19°31'44.0"

Sprawozdanie z badań bez pisemnej zgody laboratorium nie może być powielane inaczej niż w całości.
Wynik przedstawione w niniejszym sprawozdaniu odnoszą się wyłącznie do badanego obiektu i do warunków i konfiguracji urządzeń w dniu wykonywania pomiarów.

35	GKP w odległości 21m od anteny sektorowej az. 0°	0,3-2,0	<1.0*	<1.0*	<1.0*	1,6	0,06	53°59'1,3" 19°31'48,4"
36	GKP w odległości 35m od anteny sektorowej az. 0°	0,3-2,0	<1.0*	<1.0*	<1.0*	1,6	0,06	53°59'1,7" 19°31'48,4"
37	GKP w odległości 95m od anteny sektorowej az. 0°	0,3-2,0	<1.0*	<1.0*	<1.0*	1,6	0,06	53°59'3,5" 19°31'48,4"
-	GKP w odległości 286m od anteny sektorowej az. 0°	0,3-2,0	<1.0*	<1.0*	<1.0*	1,6	0,06	53°59'9,6" 19°31'48,4"
-	GKP w odległości 392m od anteny sektorowej az. 0°	0,3-2,0	<1.0*	<1.0*	<1.0*	1,6	0,06	53°59'13,2" 19°31'48,0"
-	GKP w odległości 405m od anteny sektorowej az. 130°	0,3-2,0	<1.0*	<1.0*	<1.0*	1,6	0,06	53°58'52,0" 19°32'5,3"
-	GKP w odległości 523m od anteny sektorowej az. 130°	0,3-2,0	<1.0*	<1.0*	<1.0*	1,6	0,06	53°58'49,4" 19°32'10,3"
-	GKP w odległości 447m od anteny sektorowej az. 260°	0,3-2,0	<1.0*	<1.0*	<1.0*	1,6	0,06	53°58'58,1" 19°31'23,9"
-	GKP w odległości 577m od anteny sektorowej az. 260°	0,3-2,0	<1.0*	<1.0*	<1.0*	1,6	0,06	53°58'57,4" 19°31'16,7"

Pole magnetyczne (wyznaczone na podstawie pomiaru wartości natężenia pola elektrycznego)

Nr pionu	Opis umiejscowienia pionu (punktu pomiarowego)	Wysokość pomiaru [m]	Wartość natężenia pola magnetycznego H [A/m] ¹			Wartość natężenia pola magnetycznego powiększona o niepewność pomiaru ² H [A/m]	Wskaźnikowa wartość poziomu emisji pól elektromagnetycznych WM _i ³	Współrzędne geograficzne pionu (punktu pomiarowego) ²
			Sonda SW-15	Sonda SW-16	SUMA			
1	GKP w odległości 27m od anteny radioliniowej az. 31°	0,3-2,0	<0.003*	<0.003*	<0.003*	0,004	0,06	53°59'1,3" 19°31'48,7"
2	GKP w odległości 60m od anteny radioliniowej az. 31°	0,3-2,0	<0.003*	<0.003*	<0.003*	0,004	0,06	53°59'2,4" 19°31'49,8"
3	GKP w odległości 88m od anteny radioliniowej az. 31°	0,3-2,0	<0.003*	<0.003*	<0.003*	0,004	0,06	53°59'3,1" 19°31'50,5"
4	GKP w odległości 24m od anteny radioliniowej az. 45°	0,3-2,0	<0.003*	<0.003*	<0.003*	0,004	0,06	53°59'1,0" 19°31'49,1"
5	GKP w odległości 55m od anteny radioliniowej az. 45°	0,3-2,0	<0.003*	<0.003*	<0.003*	0,004	0,06	53°59'1,7" 19°31'50,2"
6	GKP w odległości 88m od anteny radioliniowej az. 45°	0,3-2,0	<0.003*	<0.003*	<0.003*	0,004	0,06	53°59'2,4" 19°31'51,2"
7	PKP na az. 75° w odległości 82m od anteny radioliniowej az. 45°	0,3-2,0	<0.003*	<0.003*	<0.003*	0,004	0,06	53°59'1,3" 19°31'52,3"

Sprawozdanie z badań bez pisemnej zgody laboratorium nie może być powielane inaczej niż w całości.
Wynik przedstawione w niniejszym sprawozdaniu odnoszą się wyłącznie do badanego obiektu i do warunków i konfiguracji urządzeń w dniu wykonywania pomiarów.

8	PKP na az. 99° w odległości 63m od anteny radioliniowej az. 45°	0.3-2.0	<0.003*	<0.003*	<0.003*	0.004	0.06	53°59'0.2" 19°31'51.2"
9	GKP w odległości 16m od anteny sektorowej az. 130°	0.3-2.0	<0.003*	<0.003*	<0.003*	0.004	0.06	53°59'0.2" 19°31'48.7"
10	GKP w odległości 48m od anteny sektorowej az. 130°	0.3-2.0	<0.003*	<0.003*	<0.003*	0.004	0.06	53°58'59.5" 19°31'50.2"
11	GKP w odległości 93m od anteny sektorowej az. 130°	0.3-2.0	<0.003*	<0.003*	<0.003*	0.004	0.06	53°58'58.4" 19°31'52.0"
12	PKP na az. 162° w odległości 37m od anteny radioliniowej az. 193°	0.3-2.0	<0.003*	<0.003*	<0.003*	0.004	0.06	53°58'59.2" 19°31'48.7"
13	PKP na az. 162° w odległości 91m od anteny radioliniowej az. 193°	0.3-2.0	<0.003*	<0.003*	<0.003*	0.004	0.06	53°58'57.7" 19°31'49.4"
14	GKP w odległości 31m od anteny radioliniowej az. 193°	0.3-2.0	<0.003*	<0.003*	<0.003*	0.004	0.06	53°58'59.5" 19°31'47.6"
15	GKP w odległości 92m od anteny radioliniowej az. 193°	0.3-2.0	<0.003*	<0.003*	<0.003*	0.004	0.06	53°58'57.4" 19°31'46.9"
16	GKP w odległości 19m od anteny radioliniowej az. 193°	0.3-2.0	<0.003*	<0.003*	<0.003*	0.004	0.06	53°58'59.9" 19°31'47.6"
17	GKP w odległości 40m od anteny radioliniowej az. 199°	0.3-2.0	<0.003*	<0.003*	<0.003*	0.004	0.06	53°58'59.2" 19°31'47.3"
18	GKP w odległości 89m od anteny radioliniowej az. 199°	0.3-2.0	<0.003*	<0.003*	<0.003*	0.004	0.06	53°58'57.7" 19°31'46.6"
19	DPP płaszczyzna okna na parterze budynku mieszkalnego Rychliki 8a, wewnątrz brak dostępu- brak zgody właściciela	0.3-2.0	<0.003*	<0.003*	<0.003*	0.004	0.06	53°58'58.8" 19°31'45.1"
20	GKP w odległości 10m od anteny radioliniowej az. 242°	0.3-2.0	<0.003*	<0.003*	<0.003*	0.004	0.06	53°59'0.2" 19°31'47.6"
21	GKP w odległości 52m od anteny radioliniowej az. 242°	0.3-2.0	<0.003*	<0.003*	<0.003*	0.004	0.06	53°58'59.5" 19°31'45.5"

Sprawozdanie z badań bez pisemnej zgody laboratorium nie może być powielane inaczej niż w całości.
Wynik przedstawione w niniejszym sprawozdaniu odnoszą się wyłącznie do badanego obiektu i do warunków i konfiguracji urządzeń w dniu wykonywania pomiarów.

22	GKP w odległości 87m od anteny radiolinowej az. 242°	0.3-2.0	<0.003*	<0.003*	<0.003*	0.004	0.06	53°58'59.2" 19°31'43.7"
23	GKP w odległości 10m od anteny sektorowej az. 260°	0.3-2.0	<0.003*	<0.003*	<0.003*	0.004	0.06	53°59'0.6" 19°31'47.3"
24	GKP w odległości 40m od anteny sektorowej az. 260°	0.3-2.0	<0.003*	<0.003*	<0.003*	0.004	0.06	53°59'0.2" 19°31'45.8"
25	GKP w odległości 62m od anteny sektorowej az. 260°	0.3-2.0	<0.003*	<0.003*	<0.003*	0.004	0.06	53°59'0.2" 19°31'44.4"
26	DPP w wejściu do budynku hali	0.3-2.0	<0.003*	<0.003*	<0.003*	0.004	0.06	53°59'0.6" 19°31'44.4"
27	GKP w odległości 17m od anteny radiolinowej az. 307°	0.3-2.0	<0.003*	<0.003*	<0.003*	0.004	0.06	53°59'1.0" 19°31'47.3"
28	GKP w odległości 56m od anteny radiolinowej az. 306°	0.3-2.0	<0.003*	<0.003*	<0.003*	0.004	0.06	53°59'1.7" 19°31'45.5"
29	GKP w odległości 94m od anteny radiolinowej az. 306°	0.3-2.0	<0.003*	<0.003*	<0.003*	0.004	0.06	53°59'2.4" 19°31'43.7"
30	GKP w odległości 64m od anteny radiolinowej az. 307°	0.3-2.0	<0.003*	<0.003*	<0.003*	0.004	0.06	53°59'1.7" 19°31'45.1"
31	GKP w odległości 92m od anteny radiolinowej az. 307°	0.3-2.0	<0.003*	<0.003*	<0.003*	0.004	0.06	53°59'2.4" 19°31'44.0"
32	DPP płaszczyzna okna parterowego budynku mieszkalnego	0.3-2.0	<0.003*	<0.003*	<0.003*	0.004	0.06	53°59'1.7" 19°31'45.8"
33	DPP w wejściu do budynku hali	0.3-2.0	<0.003*	<0.003*	<0.003*	0.004	0.06	53°59'1.7" 19°31'44.8"
34	DPP w wejściu do budynku, budynek zamknięty	0.3-2.0	<0.003*	<0.003*	<0.003*	0.004	0.06	53°59'1.7" 19°31'44.0"
35	GKP w odległości 21m od anteny sektorowej az. 0°	0.3-2.0	<0.003*	<0.003*	<0.003*	0.004	0.06	53°59'1.3" 19°31'48.4"
36	GKP w odległości 35m od anteny sektorowej az. 0°	0.3-2.0	<0.003*	<0.003*	<0.003*	0.004	0.06	53°59'1.7" 19°31'48.4"
37	GKP w odległości 95m od anteny sektorowej az. 0°	0.3-2.0	<0.003*	<0.003*	<0.003*	0.004	0.06	53°59'3.5" 19°31'48.4"

Sprawozdanie z badań bez pisemnej zgody laboratorium nie może być powielane inaczej niż w całości.
Wynik przedstawione w niniejszym sprawozdaniu odnoszą się wyłącznie do badanego obiektu i do warunków i konfiguracji urządzeń w dniu wykonywania pomiarów.

-	GKP w odległości 286m od anteny sektorowej az. 0°	0.3-2.0	<0.003*	<0.003*	<0.003*	0.004	0.06	53°59'9.6" 19°31'48.4"
-	GKP w odległości 392m od anteny sektorowej az. 0°	0.3-2.0	<0.003*	<0.003*	<0.003*	0.004	0.06	53°59'13.2" 19°31'48.0"
-	GKP w odległości 405m od anteny sektorowej az. 130°	0.3-2.0	<0.003*	<0.003*	<0.003*	0.004	0.06	53°58'52.0" 19°32'5.3"
-	GKP w odległości 523m od anteny sektorowej az. 130°	0.3-2.0	<0.003*	<0.003*	<0.003*	0.004	0.06	53°58'49.4" 19°32'10.3"
-	GKP w odległości 447m od anteny sektorowej az. 260°	0.3-2.0	<0.003*	<0.003*	<0.003*	0.004	0.06	53°58'58.1" 19°31'23.9"
-	GKP w odległości 577m od anteny sektorowej az. 260°	0.3-2.0	<0.003*	<0.003*	<0.003*	0.004	0.06	53°58'57.4" 19°31'16.7"

GKP – Główny Kierunek Pomiarowy

DPP – Dodatkowy Pion Pomiarowy

PKP – Pomocniczy Kierunek Pomiarowy

¹ wyniki oznaczone * są wynikami poniżej czułości zestawu pomiarowego i są wynikami spoza zakresu akredytacji. Do obliczenia wyniku skorygowanego przyjęto wartość skorelowaną z rzeczywistym wynikiem pomiaru - dolną granicę akredytowanego zakresu pomiarowego metody

² współrzędne geograficzne pozyskane metodą pomiaru bezpośredniego

³ do wyznaczenia wartości wskaźnikowej W_{ME} i W_{MH} przyjęto na podstawie uzgodnień z klientem oraz rozpoznania źródeł, jako wartości dopuszczalne pola elektrycznego i magnetycznego odpowiednio 28 V/m i 0,073 A/m.

⁴ do wyznaczenia niepewności dla wyników poniżej czułości zestawu pomiarowego, przyjęto niepewność dla minimalnej wartości z zakresu pomiarowego.

⁵ maksymalna wartość chwilowa

Niepewność oszacowano zgodnie z dokumentem P-03 „Procedura nadzoru nad wyposażeniem” w postaci niepewności rozszerzonej wynikającej z niepewności standardowej pomnożonej przez współczynnik rozszerzenia $k=2$.

Całkowita szacowana niepewność rozszerzona składowej E wynosi odpowiednio:

sonda SW-15: 60.8% dla częstotliwości do 40 GHz, sonda SW-16: 32.8% dla częstotliwości do 4 GHz

Umiejscowienie pionów (punktów) pomiarowych przedstawiono w załączniku nr 2 do niniejszego sprawozdania.

Sprawozdanie z badań bez pisemnej zgody laboratorium nie może być powielane inaczej niż w całości.
Wynik przedstawione w niniejszym sprawozdaniu odnoszą się wyłącznie do badanego obiektu i do warunków i konfiguracji urządzeń w dniu wykonywania pomiarów.

10. Omówienie wyników pomiarów

W związku z tym, że żadna z wartości zmierzonych, udokumentowanych w tabelach w pkt. 9, uzyskanych w skutek zastosowania pomiaru szerokopasmowego, powiększonego o rozszerzoną niepewność pomiaru U dla współczynnika rozszerzenia $k = 2$ nie przekroczyła 70% najniższej dopuszczalnej wartości składowej elektrycznej lub magnetycznej pola dla objętych pomiarami zakresów częstotliwości, nie uwzględnia się poprawek pomiarowych.

W wyniku zastosowania sposobu sprawdzenia dotrzymania dopuszczalnych poziomów pól elektromagnetycznych w środowisku, zgodnie pkt 25 ppkt 1 Rozporządzenia Ministra Klimatu z dnia 17 lutego 2020 r. (Dz. U. 2022, poz. 2630), w związku z tym, że żadna z wartości wskaźnikowych, udokumentowanych w tabelach w pkt. 9 nie przekracza wartości 1, stwierdza się, że w miejscach, w których wykonano pomiary w otoczeniu instalacji radiokomunikacyjnej 38865 (48865N!) GEB_RYCHLIKI_RYCHLIKI, dopuszczalne poziomy pól elektromagnetycznych w środowisku należy uznać za dotrzymane.

Miejsca niedostępne podczas wykonywania pomiarów wskazane zostały w pkt. 9 (Wyniki pomiarów) lub na załączniku przedstawiającym usytuowanie pionów pomiarowych.

11. Podstawa prawna

- 1) Ustawa z dnia 27 kwietnia 2001 r. Prawo ochrony środowiska (Dz.U. 2022 poz. 2556)
- 2) Rozporządzenie Ministra Zdrowia z dnia 17 grudnia 2019 r. w sprawie dopuszczalnych poziomów pól elektromagnetycznych w środowisku (Dz. U. 2019, poz. 2448)
- 3) Rozporządzenie Ministra Klimatu z dnia 17 lutego 2020 r. w sprawie sposobów sprawdzania dotrzymania dopuszczalnych poziomów pól elektromagnetycznych w środowisku (Dz. U. 2022, poz. 2630),
- 4) Akredytacja nr AB 419 wydana przez Polskie Centrum Akredytacji (wydanie 21, z dnia 11 kwietnia 2023 r.)

12. Spis załączników

- Załącznik 1. Lokalizacja obiektu badań
- Załącznik 2. Usytuowanie pionów (punktów) pomiarowych
- Załącznik 3. Dokumentacja fotograficzna obiektu badań

13. Data wydania i autoryzowania sprawozdania

Obliczenia i sprawozdanie wykonał :

Sprawozdanie autoryzował:

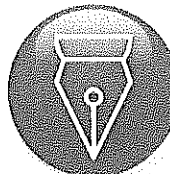


Signed by /
Podpisano przez:

Karolina
Katarzyna
Palacios

Date / Data:
2023-09-25 19:42

Koniec sprawozdania

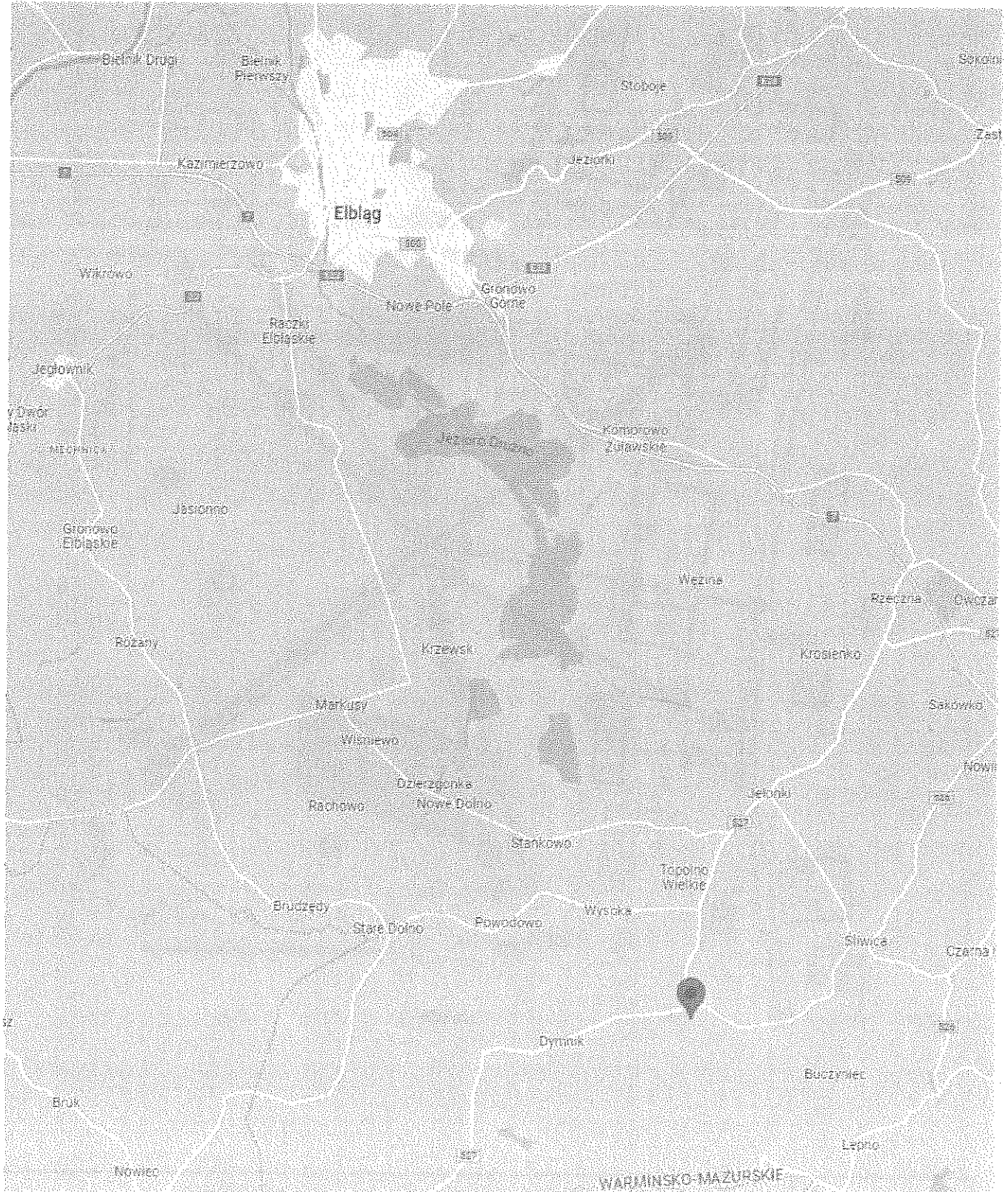


Signed by /
Podpisano przez:

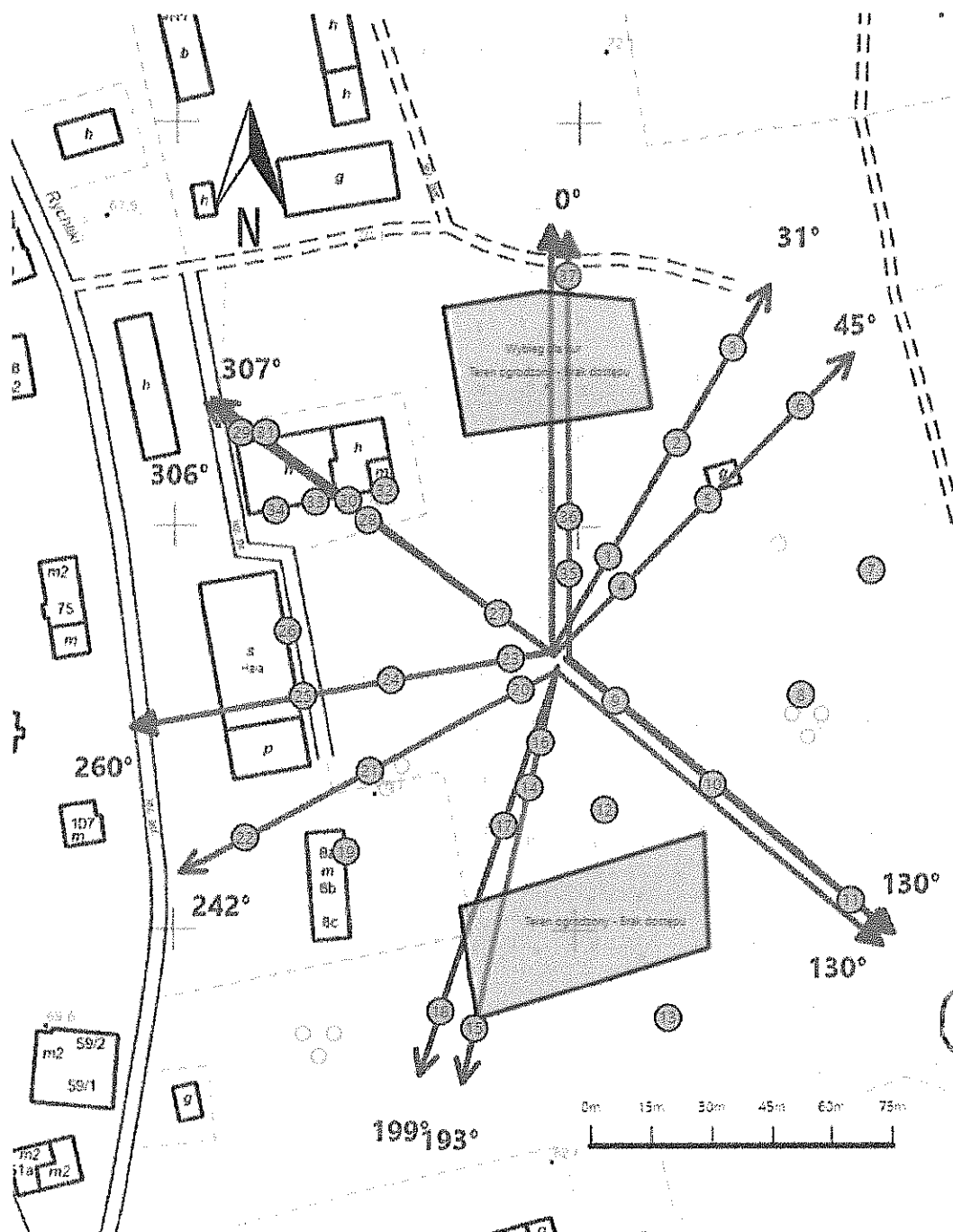
Agnieszka
Harbacewicz


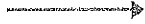
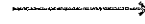
Date / Data: 2023-
09-26 10:17

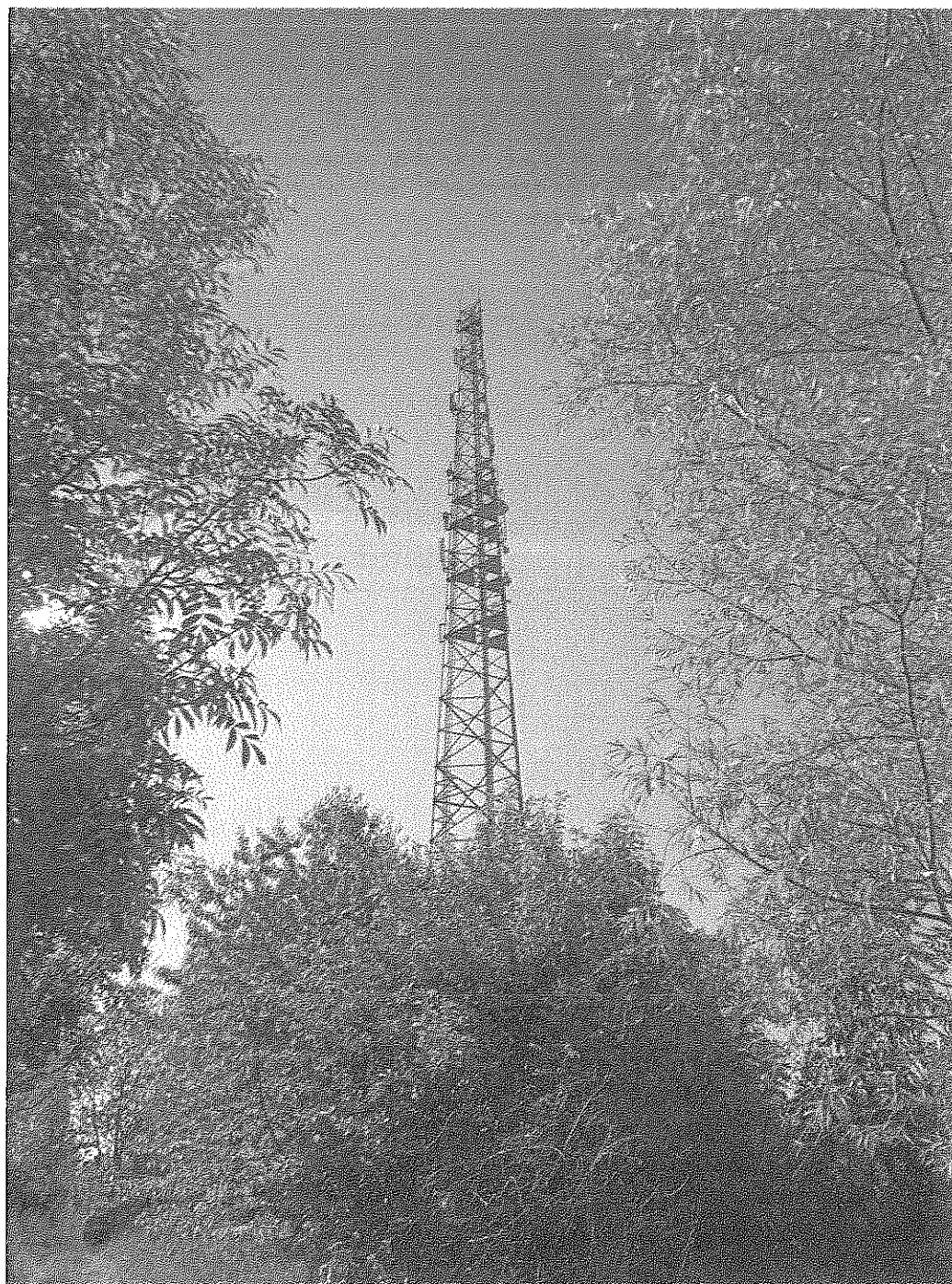
Sprawozdanie z badań bez pisemnej zgody laboratorium nie może być powielane inaczej niż w całości.
Wynik przedstawione w niniejszym sprawozdaniu odnoszą się wyłącznie do badanego obiektu i do warunków i konfiguracji urządzeń w dniu wykonywania pomiarów.



Załącznik nr 1	Instalacja radiokomunikacyjna T-Mobile Polska S.A. (48865N ¹) GEB_RYCHLIKI_RYCHLIKI Lokalizacja instalacji
----------------	--



<p>Załącznik nr 2</p>	<p>Instalacja radiokomunikacyjna T-Mobile Polska S.A. GEB_RYCHLIKI_RYCHLIKI (48865N!)</p> <p>Usytuowanie pionów pomiarowych w otoczeniu instalacji radiokomunikacyjnej</p>
	<p>Legenda:</p> <div style="display: flex; justify-content: space-around; align-items: center;"> <div style="text-align: center;">  <p>Pion pomiarowy</p> </div> <div style="text-align: center;">  <p>Kierunek oddziaływania anten sektorowych</p> </div> <div style="text-align: center;">  <p>Kierunek oddziaływania anten liniowych</p> </div> </div>



Załącznik nr 3

Instalacja radiokomunikacyjna T-Mobile Polska S.A.
(48865N!) GEB_RYCHLIKI_RYCHLIKI

Dokumentacja fotograficzna

